

О СТАЦИОНАРНОМ РЕЖИМЕ
НАСЛЕДСТВЕННО-УПРУГОГО ОСЦИЛЛЯТОРА

C. И. Мешков

(Москва)

Слабосингулярные функции, используемые в качестве ядер интегральных уравнений Больцмана — Вольтерра при решении статических задач наследственной теории упругости [1], стали широко применяться и при решении динамических задач [2]. Только изучению поведения одномерного осциллятора посвящена целая серия работ [3-5]. В данной работе исследуются неизвестные ранее особенности стационарного режима одномерного осциллятора, наследственные свойства которого описываются функциями, обладающими интегрируемой особенностью абелевского типа.

1. В силу известной связи между ядрами релаксации $R(t)$ и последействия $K(t)$ в уравнение движения наследственно-упругого осциллятора можно записать в эквивалентных формах

$$x'' + \omega_{\infty}^2 x - (\omega_{\infty}^2 - \omega_0^2) \int_0^\infty R(t') x(t-t') dt' = p \sin \omega t \quad (1.1)$$

$$x'' + \omega_{\infty}^2 x + v_\sigma \int_0^\infty K(t') x''(t-t') dt' = p \left[\sin \omega t + v_\sigma \int_0^\infty K(t') \sin \omega(t-t') dt' \right] \quad (1.2)$$

$$v_\sigma = (E_\infty - E_0) E_0^{-1},$$

Здесь x — координата, точка над буквой означает производную по времени, p — относенная к единице массы амплитуда внешней моногармонической силы, действующей с частотой ω , а релаксированное E_0 и нерелаксированное E_∞ значения упругого модуля определяют соответствующие собственные частоты упругих колебаний ω_0 и ω_∞ .

Для стационарного решения

$$x = X \sin(\omega t - \varphi_1) \quad (1.3)$$

уравнения (1.1) и (1.2) записываются в форме упруго-вязкой аналогии

$$\ddot{x}(\omega_0^2 A - \omega^2)x + \omega_0^2 \omega^{-1} B x' = p \sin \omega t \quad (1.4)$$

$$(\omega_\infty^2 - \omega^2 C)x + \omega D x' = P \sin(\omega t - \varphi_2)$$

$$P \equiv p (C^2 + D^2)^{1/2}, \quad \operatorname{tg} \varphi_2 = D C^{-1} \quad (1.5)$$

Амплитуда X и фаза φ_1 определяются выражениями

$$[a = X p^{-1} = [(\omega_0^2 A - \omega^2)^2 + \omega_0^4 B^2]^{-1/2} = P p^{-1} [(\omega_\infty^2 - \omega^2 C)^2 + \omega^4 D^2]^{-1/2}] \quad (1.6)$$

$$[\operatorname{tg} \varphi_1 = B [A - (\omega / \omega_0)^2]^{-1} = D [C - (P \omega / p \omega_\infty)^2]^{-1}] \quad (1.7)$$

Здесь введены обозначения

$$A \equiv 1 + v_\sigma \left(1 - \int_0^\infty R(t) \cos \omega t dt \right), \quad B \equiv v_\sigma \int_0^\infty R(t) \sin \omega t dt \quad (1.8)$$

$$C \equiv 1 + v_\sigma \int_0^\infty K(t) \cos \omega t dt, \quad D \equiv v_\sigma \int_0^\infty K(t) \sin \omega t dt$$

Нетрудно определить и величину, обратную добротности системы Q^{-1} , обычно принимаемую за меру внутреннего трения

$$Q^{-1} = \frac{1}{2\pi} \frac{\Delta W}{W} \quad (1.9)$$

Здесь ΔW — энергия, рассеиваемая в течение одного цикла, а W — максимальное значение энергии в данном цикле.

Согласно уравнению (1.4) ΔW вычисляется по формуле

$$\Delta W = p \int_0^{2\pi/\omega} x' \sin \omega t dt = \pi p X \sin \varphi_1 \quad (1.10)$$

или определяется как площадь петли гистерезиса

$$\Delta W = \pi X^2 \omega_0^2 B = \pi X^2 \omega_\infty^2 D (C^2 + D^2)^{-1} \quad (1.11)$$

В эквивалентности формул (1.10) и (1.11) легко убедиться после подстановки в них значений X и φ_1 из (1.6) и (1.7). Максимальное значение энергии определяется выражением

$$W = \frac{1}{2} X^2 \omega_0^2 A = \frac{1}{2} X^2 \omega_\infty^2 C (C^2 + D^2)^{-1} \quad (1.12)$$

В результате для внутреннего трения получается формула

$$Q^{-1} = B A^{-1} = D C^{-1} = \tan \varphi_2 \quad (1.13)$$

Следует заметить, что в квазистатическом случае, т. е. когда инерционными свойствами системы можно пренебречь, тангенс угла сдвига фаз (1.7) переходит в тангенс угла механических потерь, который тождественно совпадает с Q^{-1} (1.13).

Более подробные сведения, касающиеся расчета колебаний упруго-наследственных систем, содержатся в книге [6].

2. В качестве первого примера рассмотрим простейшее слабосингулярное ядро Абеля, которое выберем в качестве ядра последействия

$$K(t) = t^{\gamma-1} / \tau_\sigma^\gamma \Gamma(\gamma) \quad (0 < \gamma \leq 1) \quad (2.1)$$

Здесь τ_σ — время релаксации. Аналогичное ядро, только без гамма-функции $\Gamma(\gamma)$, использовал Дюффинг [7] для обработки статических кривых ползучести ремней и других материалов. Решение динамической задачи непосредственно с ядром Дюффинга приводит лишь к появлению гамма-функции в окончательных формулах, а зависимость от частоты ω и времени релаксации τ_σ (релаксации τ_ε) останется той же самой.

Резольвента ядра (2.1) — ядро релаксации — определяется дробно-экспоненциальной функцией Ю. Н. Работнова [8]

$$R(t) = \tau_\xi^{-\gamma} \partial_\gamma(-v, \tau, t), \quad \partial_\gamma \equiv \sum_{n=0}^{\infty} \left(-\frac{v}{\tau^\gamma} \right)^n \frac{t^{\gamma(n+1)-1}}{\Gamma[\gamma(n+1)]}, \quad \frac{E_0}{E_\infty} = \left(\frac{\tau_\varepsilon}{\tau_\sigma} \right)^\gamma \quad (2.2)$$

Нетрудно вычислить синус и косинус трансформанты Фурье функций (2.1) и (2.2), а затем величины

$$A = \frac{(1+v_\sigma)(\kappa^\gamma v^{-1} + \cos \psi)}{\kappa^\gamma v^{-1} + \kappa^{-\gamma} v + 2 \cos \psi}, \quad B = \frac{(1+v_\sigma) \sin \psi}{\kappa^\gamma v^{-1} + \kappa^{-\gamma} v + 2 \cos \psi} \quad (2.3)$$

$$C = 1 + v \kappa^{-\gamma} \cos \psi, \quad D = v \kappa^{-\gamma} \sin \psi, \quad \kappa \equiv \omega \tau, \quad \psi = \frac{1}{2} \pi \gamma \quad (2.4)$$

Подставляя эти значения в формулы (1.6) и (1.7), найдем соответственно амплитуду, тангенс угла сдвига фаз и внутреннее трение

$$a = \left(\frac{\kappa^\gamma v^{-1} + \kappa^{-\gamma} v + 2 \cos \psi}{\Omega_\infty^2 \kappa^\gamma v^{-1} + \omega^4 v \kappa^{-\gamma} - 2 \omega^2 \Omega_\infty} \right)^{1/2}, \quad \Omega_\infty \equiv \omega_\infty^2 - \omega^2 \quad (2.5)$$

$$\tan \varphi_1 = [\Omega_\infty (\cos \psi + \kappa^\gamma v^{-1}) - \omega^2 (\cos \psi + \kappa^{-\gamma} v)]^{-1} \omega_\infty^2 \sin \psi \quad (2.6)$$

$$Q^{-1} = \tan \varphi_2 = (\cos \psi + \kappa^\gamma v^{-1})^{-1} \sin \psi \quad (2.7)$$

В формулах (2.2) — (2.7) и в дальнейшем, где величины τ и v стоят без индексов, принято $\tau = \tau_\sigma$ при $v = v_\sigma$ и $\tau = \tau_\varepsilon$ при $v = v_\varepsilon = \Delta E / E_\infty$.

При $\gamma = 1$ использование ядер (2.1) и (2.2) в интегральных соотношениях Больцмана — Вольтерра приводит с точностью до константы v_ε ($v_\varepsilon = 1$, если $E_0 = 0$) к реологической модели Максвелла. В этом случае динамические формулы (2.5) — (2.7) соответствуют модели Максвелла, для которой при частоте $\omega = \omega_* = \omega_\infty / \sqrt{2}$ все резонансные амплитуды независимо от τ пересекаются в одной точке, достигая в ней значения $a_*^{(0)} = 2 \omega_\infty^{-2}$ [9]. Для ядер (2.1) и (2.2) при частоте $\omega = \omega_*$ пересекаются и имеют значения $2 \omega_\infty^{-2}$ только резонансные амплитуды, соответствующие $\tau = 0$ и $\tau = \infty$. При произвольных τ в точке $\omega = \omega_*$ формулы (2.5), (2.6) имеют вид

$$a_* = a_*^{(0)} \left(\frac{\kappa_*^\gamma v^{-1} + \kappa_*^{-\gamma} v + 2 \cos \psi}{\kappa_*^\gamma v^{-1} + \kappa_*^{-\gamma} v - 2 \cos \psi} \right)^{1/2} \quad (2.8)$$

$$\tan \varphi_{1*} = 2 (\kappa_*^\gamma v^{-1} - \kappa_*^{-\gamma} v) \sin \psi \quad (2.9)$$

Исследуем поведение амплитуды a_* , так как формула (2.8) может быть использована для нахождения релаксационных характеристик по экспериментальным данным. При фиксированных значениях γ и $\xi = E_0 / E_\infty$ зависимость a_* от времени релаксации τ_ε представляет собой симметричный пик, который при условии $\kappa_\varepsilon^\gamma = v$ достигает максимума

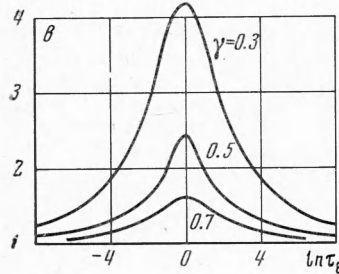
$$a_{*m} = a_*^{(0)} \operatorname{ctg} \frac{1}{2} \psi \quad (2.10)$$

При больших и малых значениях τ поведение амплитуды a_* соответственно определяется асимптотическими формулами

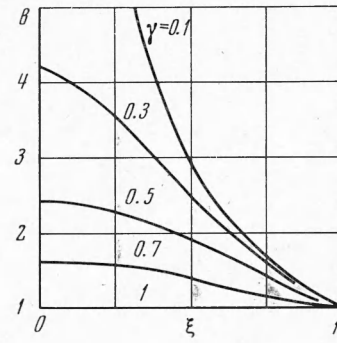
$$\tau \gg 1, \quad a_* \approx a_*^{(0)} (1 + 2v\kappa_\varepsilon^{-\gamma} \cos \psi) \quad (2.11)$$

$$\tau \ll 1, \quad a_* \approx a_*^{(0)} (1 + 2v^{-1}\kappa_\varepsilon^\gamma \cos \psi) \quad (2.12)$$

На фиг. 1 приведена зависимость величины $b \equiv a_* - a_*^{(0)}$ от $\ln \tau_\varepsilon$ при $v_\varepsilon = 1$, $(\xi = 1)$, $\omega_\infty = \sqrt{2}$. Цифрами у кривых отмечены значения параметра γ .



Фиг. 1



Фиг. 2

Зависимость амплитуды a_* от параметра дробности γ при фиксированных значениях τ , ξ сначала проследим, используя формулу (2.10) для максимального значения a_{*m} . Тогда нетрудно установить, что a_{*m} монотонно возрастает от значения $a_*^{(0)}$ при $\gamma = 1$ до бесконечности при $\gamma \rightarrow 0$. Справедливы следующие асимптотические оценки:

$$\gamma \rightarrow 1, \quad a_{*m} \approx a_*^{(0)} [1 + \frac{1}{2} \pi (1 - \gamma)], \quad \gamma \rightarrow 0, \quad a_{*m} \approx 8(\pi \omega_\infty^2 \gamma)^{-1} \quad (2.13)$$

Если $\kappa_\varepsilon^\gamma \neq v$, то поведение a_* при $\gamma \rightarrow 1$ и $\gamma \rightarrow 0$ соответственно определяется выражениями

$$\gamma \rightarrow 1, \quad a_* \approx a_*^{(0)} [1 + \frac{1}{2} \pi (1 - \gamma) v \kappa_\varepsilon^\gamma (v^2 + \kappa_\varepsilon^2)^{-1}] \quad (2.14)$$

$$\gamma \rightarrow 0, \quad a_* \approx a_*^{(0)} (1 + v)^2 (1 - v)^{-2} [1 + 2\gamma (v - v^{-1})^{-1} \ln \kappa_\varepsilon^\gamma] \quad (2.15)$$

Амплитуда a_* как функция степени релаксации ξ , когда τ и γ играют роль параметров, определена в области $\xi \in [0, 1]$ и при том же условии $\kappa_\varepsilon^\gamma = v$ (или в переменных τ_ε , ξ , это равносильно $\xi = 1 - \kappa_\varepsilon^\gamma$) достигает максимального значения, определяемого выражением (2.10). Отсюда видно, что при изменении ξ положение пика на оси $\ln \tau_\varepsilon$ меняется, и он проявится не при любых значениях параметров τ_ε и γ , а только для тех, которые удовлетворяют условию $\kappa_\varepsilon^\gamma < 1$. Асимптотическое поведение амплитуды a_* при $\xi \rightarrow 0$ и $\xi \rightarrow 1$ определяется соответственно выражениями:

$$\xi \rightarrow 0, \quad a_* \approx h [1 + 2\xi (\kappa_\varepsilon^{2\gamma} + \kappa_\varepsilon^{-2\gamma} - 2 \cos 2\psi)^{-1} (\kappa_\varepsilon^{-\gamma} - \kappa_\varepsilon^\gamma) \cos \psi] \quad (2.16)$$

$$h \equiv a_*^{(0)} (\kappa_\varepsilon^\gamma + \kappa_\varepsilon^{-\gamma} + 2 \cos \psi)^{1/2} (\kappa_\varepsilon^\gamma + \kappa_\varepsilon^{-\gamma} - 2 \cos \psi)^{-1/2}$$

$$\xi \rightarrow 1, \quad a_* \approx a_*^{(0)} [1 + 2\kappa_\varepsilon^{-\gamma} (1 - \xi) \cos \psi] \quad (2.17)$$

На фиг. 2 приведена зависимость величины b при $\tau_\varepsilon = 1$, $\omega_\infty = \sqrt{2}$ для различных γ , значения которых указаны цифрами у кривых. Следует заметить, что при $\xi = 1$ все кривые для a_* сходятся в одну точку $a_* = a_*^{(0)}$ в силу специфики ядра (2.1), описывающего неограниченный процесс ползучести.

3. В качестве второго примера рассмотрим специальный случай ϑ_γ -функции Ю. Н. Работнова при $\nu = 1$. Тогда ядра релаксации и последействия запишутся в симметричном виде

$$R(t) = \tau_\varepsilon^{-\gamma} \vartheta_\gamma(-1, \tau_\varepsilon, t), \quad K(t) = \tau_\sigma^{-\gamma} \vartheta_\gamma(-1, \tau_\sigma, t) \quad (3.1)$$

В этом случае

$$A = \frac{\xi^{-1} \kappa_\varepsilon^\gamma + \kappa_\varepsilon^{-\gamma} + (1 + \xi^{-1}) \cos \psi}{\kappa_\varepsilon^\gamma + \kappa_\varepsilon^{-\gamma} + 2 \cos \psi}, \quad B = \frac{\nu_\sigma \sin \psi}{\kappa_\varepsilon^\gamma + \kappa_\varepsilon^{-\gamma} + 2 \cos \psi} \quad (3.2)$$

$$C = \frac{\kappa_\sigma^\gamma + \xi^{-1} \kappa_\sigma^{-\gamma} + (1 + \xi^{-1}) \cos \psi}{\kappa_\sigma^\gamma + \kappa_\sigma^{-\gamma} + 2 \cos \psi}, \quad D = \frac{\nu_\sigma \sin \psi}{\kappa_\sigma^\gamma + \kappa_\sigma^{-\gamma} + 2 \cos \psi} \quad (3.3)$$

Согласно (1.6), (1.7) и (1.16) для амплитуды, сдвига фаз и внутреннего трения получим

$$a = \left(\frac{\kappa_\varepsilon^\gamma + \kappa_\varepsilon^{-\gamma} + 2 \cos \psi}{\Omega_\infty^2 \kappa_\varepsilon^\gamma + \Omega_0^2 \kappa_\varepsilon^{-\gamma} + 2 \Omega_\infty \Omega_0 \cos \psi} \right)^{1/2}, \quad \Omega_0 \equiv \omega_0^2 - \omega^2 \quad (3.4)$$

$$\operatorname{tg} \varphi_1 = [\Omega_\infty \kappa_\varepsilon^\gamma + \Omega_0 \kappa_\varepsilon^{-\gamma} + (\Omega_0 + \Omega_\infty) \cos \psi]^{-1} (\Omega_\infty - \Omega_0) \sin \psi \quad (3.5)$$

$$Q^{-1} = \operatorname{tg} \varphi_2 = [\kappa_\varepsilon^\gamma + \xi \kappa_\varepsilon^{-\gamma} + (1 + \xi) \cos \psi]^{-1} \nu_\varepsilon \sin \psi \quad (3.6)$$

При $\gamma = 1$ все соотношения (3.1) — (3.6) соответствуют модели стандартного линейного тела, для которого при частоте

$$\omega_*^2 = 1/2 (\omega_\infty^2 + \omega_0^2) \quad (3.7)$$

резонансная амплитуда a_* не зависит [от времени] релаксации τ_ε , т. е. все амплитуды независимо от τ_ε пересекаются в одной точке [10]. При $\gamma \neq 1$ в этой точке $\omega = \omega_*$ пересекаются только две резонансные амплитуды, соответствующие $\tau_\varepsilon = 0$ и $\tau_\varepsilon = \infty$. Для произвольных τ_ε при $\omega = \omega_*$ амплитуда a_* и фаза φ_{1*} определяются формулами

$$a_{*1} = a_*^{(0)} \left(\frac{\kappa_{*\varepsilon}^\gamma + \kappa_{*\varepsilon}^{-\gamma} + 2 \cos \psi}{\kappa_{*\varepsilon}^\gamma + \kappa_{*\varepsilon}^{-\gamma} - 2 \cos \psi} \right)^{1/2}, \quad a_*^{(0)} = \frac{2}{\omega_\infty^2 - \omega_0^2} \quad (3.8)$$

$$\operatorname{tg} \varphi_{1*} = 2 (\kappa_{*\varepsilon}^\gamma - \kappa_{*\varepsilon}^{-\gamma}) \sin \psi \quad (3.9)$$

Следует заметить, что формула (3.9) справедлива только когда $\omega_\infty \neq \omega_0$. При $\omega_\infty = \omega_0$, т. е. при отсутствии дефекта модуля, из формулы (3.5) сразу следует $\varphi_1 = 0$, что соответствует упругому решению.

Исследования, аналогичные ядру Абеля — Дюффинга, приводят к следующим результатам.

Функция $a_* = f(\tau_\varepsilon)$ (γ, ξ — параметры) образует симметричный пик, который при условии $\kappa_{*\varepsilon} = 1$ достигает максимальное значение, равное

$$a_{*m} = a_*^{(0)} \operatorname{ctg}^{1/2} \psi \quad (3.10)$$

При больших и малых значениях τ_ε амплитуда a_* стремится к значению $a_*^{(0)}$, что хорошо видно, из следующих асимптотических оценок:

$$\tau_\varepsilon \gg 1, \quad a_* \approx a_*^{(0)} (1 + 2 \kappa_\varepsilon^{-\gamma} \cos \psi) \quad (3.11)$$

$$\tau_\varepsilon \ll 1, \quad a_* \approx a_*^{(0)} (1 + 2 \kappa_\varepsilon^\gamma \cos \psi) \quad (3.12)$$

При соответствующем значении γ график функции $a_* = f(\ln \tau_\varepsilon)$ аналогичен приведенному на фиг. 1, а для $\xi = 0$ в точности с ним совпадает.

При фиксированных значениях τ_ε и ξ амплитуда a_* с уменьшением γ монотонно возрастает от величины $a_*^{(0)}$ при $\gamma = 1$ до бесконечности при $\gamma \rightarrow 0$. Например, при условии $\kappa_{*\varepsilon} = 1$, это легко видно из формулы (3.10), а при других значениях $\kappa_{*\varepsilon}$ асимптотика a_* определяется формулами

$$\gamma \rightarrow 1, \quad a_* \approx a_*^{(0)} [1 + \pi (1 - \gamma) (\kappa_{*\varepsilon} + \kappa_{*\varepsilon}^{-1})^{-1}] \quad (3.13)$$

$$\gamma \rightarrow 0, \quad a_* \approx 2 a_*^{(0)} \gamma^{-1} [1/4 \pi^2 + (\ln \kappa_{*\varepsilon})^2]^{-1/2} \quad (3.14)$$

Наконец, при изменении степени релаксации ξ амплитуда a_* меняется, монотонно возрастая от постоянного значения при $\xi = 0$ до бесконечности при $\xi \rightarrow 1$.

Последнее нетрудно понять, так как при $\omega_\infty^2 = \omega_0^2$ получается упругое решение, и амплитуда в резонансе, естественно, равна бесконечности. При $\xi \rightarrow 0$ справедлива асимптотическая формула

$$a_* \approx a_\infty \{1 + \gamma \xi [1 + (\kappa_\infty^{2\gamma} + \kappa_\infty^{-2\gamma} - 2 \cos 2\psi)^{-1} (\kappa_\infty^{-\gamma} - \kappa_\infty^\gamma) \cos \psi]\} \quad (3.15)$$

$$\kappa_\infty \equiv (\kappa_\infty^\gamma + \kappa_\infty^{-\gamma} + 2 \cos \psi)^{1/2}, \quad \kappa_\infty \equiv \omega_\infty \tau_\varepsilon / \sqrt{2}$$

На фиг. 3 приведена зависимость a_* от степени релаксации ξ для различных γ , значениями которых помечены кривые, ($\tau_\varepsilon = 1, \omega_\infty = \sqrt{2}$). Принципиальное отличие от кривых, изображенных на фиг. 2, состоит в том, что все амплитуды a_* при $\xi \rightarrow 1$ стремятся к бесконечности, так как они соответствуют упругому резонансу.

4. Полученные результаты допускают возможность использования их для экспериментальных приложений. Во-первых, следует заметить, что рассмотренные выше ядра релаксации и последействия эквивалентны вполне определенным функциям распределения времен релаксаций (ретардаций). Например, для ядра последействия Абеля — Дюффинга соответствующую функцию распределения наиболее просто получить, если воспользоваться определением гамма-функции через интеграл Эйлера и сделать в нем замену переменных. В результате можно записать соотношение

$$t^{\gamma-1} \Gamma(1-\gamma) = \int_0^\infty \tau^{\gamma-2} e^{-t/\tau} d\tau \quad (4.1)$$

из которого следует, что функции распределения времен ретардаций, эквивалентные ядрам Абеля и Дюффинга, соответственно имеют вид

$$f_A(\tau) := (\pi \tau_\varepsilon^\gamma)^{-1} \tau^{\gamma-1} \sin \pi \gamma$$

$$f_D(\tau) := [\tau_\varepsilon^\gamma \Gamma(1-\gamma)]^{-1} \tau^{\gamma-1} \quad (4.2)$$

Функцию распределения времен релаксаций для ядра Ю. Н. Работнова (2.2) можно получить, если воспользоваться интегральным представлением ϑ_γ -функции по формуле Меллина

$$\tau_\varepsilon^{-\gamma} \vartheta_\gamma(-v_\varepsilon, \tau_\varepsilon, t) = \frac{1}{2\pi i v_\varepsilon} \int_{c-i\infty}^{c+i\infty} \frac{\exp(pt) dp}{1 + v_\varepsilon^{-1}(p\tau_\varepsilon)^\gamma} \quad (4.3)$$

Тогда, вычисляя контурный интеграл (4.3) методами теории функций комплексной переменной, придем к соотношению

$$\tau_\varepsilon^{-\gamma} \vartheta_\gamma(-v_\varepsilon, \tau_\varepsilon, t) = \frac{\sin \pi \gamma}{\pi v_\varepsilon} \int_0^\infty \frac{\tau^{-2} \exp(-t/\tau) d\tau}{v_\varepsilon(\tau/\tau_\varepsilon)^\gamma + v_\varepsilon^{-1}(\tau/\tau_\varepsilon)^{-\gamma} + 2 \cos \pi \gamma} \quad (4.4)$$

из которого видно, что функция распределения времен релаксаций определяется выражением

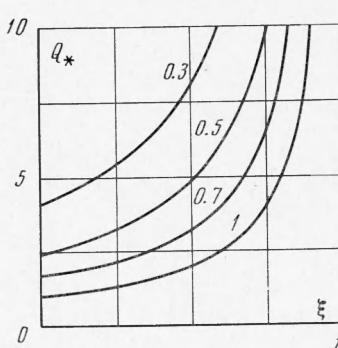
$$f_R(\tau) = \frac{\sin \pi \gamma}{\pi v_\varepsilon \tau} \left[v_\varepsilon \left(\frac{\tau}{\tau_\varepsilon} \right)^\gamma + v_\varepsilon^{-1} \left(\frac{\tau}{\tau_\varepsilon} \right)^{-\gamma} + 2 \cos \pi \gamma \right]^{-1} \quad (4.5)$$

При $v_\varepsilon = 1$ получается функция распределения, соответствующая ядру (3.1).

Из формул (4.2) и (4.5) следует, что параметр γ , определяющий слабую сингулярность наследственных функций, характеризует «размытие» релаксационно-ретардационных спектров. Поэтому экспериментальное определение γ представляет несомненный интерес. На примере осциллятора это наиболее просто сделать, если исследовать температурную зависимость амплитуды a_* при частоте $\omega = \omega_*$, учитывая, что время релаксации τ_ε зависит от температуры T по формуле Аррениуса

$$\tau_\varepsilon = \tau_{\varepsilon 0} \exp(-H/kT) \quad (4.6)$$

Здесь H — энергия активации релаксационного процесса, k — константа Больцмана, $\tau_{\varepsilon 0}$ — частотный фактор.



Фиг. 3

